



تأثیر جریان تطویلی بر شکل گیری و ظهور ساختار در الیاف نانو کامپوزیت پلی پروپیلن/نانو صفحات گرافن

روح الله سمنانی رهبر^{*}^۱، بهاره کلاتری^۲، محمد رضا محدث مجتهدی^۲ و فرهاد شریف^۲

۱- گروه پژوهشی نساجی و چرم، پژوهشگاه شیمی و پتروشیمی، پژوهشگاه استاندارد، کرج، ایران

۲- دانشکده مهندسی نساجی، دانشگاه صنعتی امیرکبیر، تهران، ایران

۳- دانشکده مهندسی پلیمر و رنگ، دانشگاه صنعتی امیرکبیر، تهران، ایران

تاریخ ثبت اولیه: ۱۳۹۶/۰۱/۲۵، تاریخ دریافت نسخه اصلاح شده: ۱۳۹۶/۰۳/۱۲، تاریخ پذیرش قطعی: ۱۳۹۶/۰۳/۲۱

چکیده

الیاف پلی پروپیلن (PP) خالص و الیاف نانو کامپوزیت پلی پروپیلن/نانو صفحات گرافن (GnPs) حاوی ۱٪/۰ GnPs در سرعت‌های ۱۰۰۰ تا ۲۰۰۰ m/min تولید شدند. مورفوژوئی، ساختار بلوری، آرایش مولکولی و خصوصیات حرارتی و مکانیکی الیاف تولید شده با استفاده از آزمون‌های میکروسکوب الکترونی رویشی، عبوری و نور پلازیزه معمولی، پراش اشعه ایکس با زاویه بهن، طیف سنجی مادون قرمز پلازیزه، گرماستن پویشی تفاضلی، آنالیز مکانیکی-دینامیکی و آزمون خواص کششی مورد بررسی قرار گرفتند. نتایج پراش اشعه ایکس با زاویه بهن نشان دهنده عدم تاثیر GnPs بر ساختار بلوری آلفا مونوکلینیک PP در الیاف PP/GnPs می‌باشد. محاسبه نسبت دی کروئیک بیانگر روند افزایش آرایش مولکولی در فاز بلوری و نیز آرایش مولکولی متوسط در حضور GnPs برای الیاف GnPs/PP است که این موضوع با انجام داد سریع تر لیف و افزایش تنش رسیدگی تشریح شد. بررسی رفتار مکانیکی-دینامیکی الیاف PP/GnPs نشان می‌دهد که ضرایب اتلاف و دمای انتقال شیشهای الیاف تحت تاثیر سرعت برداشت و شدت جریان تطویلی قرار ندارند. استحکام کششی الیاف PP/GnPs ذوب رسی شده در سرعت ۲۰۰۰ m/min از الیاف PP خالص کمتر است و در مقایسه با الیاف نانو کامپوزیت ذوب رسی شده در سرعت ۱۵۰۰ m/min نیز افزایش قابل ملاحظه‌ای را نشان نمی‌دهد. بر اساس نتایج حاصله، مدل‌های ساختاری برای الیاف ذوب رسی شده در سرعت‌های مختلف پیشنهاد شد.

واژه‌های کلیدی: فانو صفحات گرافن، الیاف نانو کامپوزیت پلی پروپیلن، جریان تطویلی، ذوب رسی، ساختار بلوری.

۱- **مقدمه**
تولید مواد نانو کامپوزیت دارد. نانو کامپوزیت‌های پلیمری از طریق افزودن نانومواد مختلف در ماتریس پلیمرها تولید می‌شوند. استفاده از مواد پلیمری در صنعت نساجی بدلیل خصوصیات منحصر به فرد از قبیل انعطاف‌پذیری و قابلیت کاربردهای زیادی در زمینه‌های مختلف از جمله طراحی و

* همه‌داد و مکاتبات: روح الله سمنانی رهبر
نشانی: کرج، سازمان ملی استاندارد، پژوهشگاه استاندارد، پژوهشگاه شیمی و پتروشیمی، گروه پژوهشی نساجی و چرم
تلفن: ۰۲۶ ۳۲۸۰۳۸۷۴، دور تکار: ۰۲۶ ۳۲۸۰۳۸۷۴، پست الکترونیکی: semnani@standard.ac.ir

کربن (CNTs) و از لحاظ ساختاری مشابه سیلیکات‌های لایه‌ای (Clay) می‌باشد. ولی GnPs در مقایسه با مواد نانو دو بعدی مانند Clay دانسته پایین‌تری داشته و بدلیل وجود کربن‌هایی با هیریداسیون² در صفحات گرافن، از خواص رسانایی الکتریکی و حرارتی برخوردار می‌باشد. همچنین برخلاف CNTs که تولید آنها نیاز به تجهیزات گران قیمت و پیچیده داشته و مصرف انرژی بالایی نیز دارند، می‌توان این نانوصفحات را از منابع طبیعی گرافیت و با به کارگیری روش‌های مناسبی تولید نمود. بنابراین بدلیل وفور منابع طبیعی گرافیت به عنوان ماده اولیه جهت تولید GnPs، این ماده به عنوان تقویت‌کننده ایده‌آل جهت بهبود خصوصیات پلیمرها مورد توجه قرار گرفته و همچنین به عنوان افزودنی‌های نانو مفروض به صرفه، پتانسیل جایگزین شدن CNTs را در بسیاری از کاربردها دارد. می‌توان گفت GnPs مواد تقویت‌کننده بسیار موثری هستند که ساختار لایه‌ای Clay را با خصوصیات رسانایی حرارتی و الکتریکی منحصر‌بفرد CNTs ترکیب می‌کنند [۹، ۱۰].

تحقیقات گسترده‌ای در مورد تولید نانوکامپوزیت‌ها از طریق افزودن نانوصفحات گرافن به پلیمرهای مختلف صورت گرفته است که یکی از پلیمرهای پر مصرف در این مورد پلی‌پروپیلن (PP) می‌باشد [۱۱]. در بخشی از تحقیقات یاد شده، خصوصیات مکانیکی و مورفو‌لوزیکی نانوکامپوزیت‌های PP/GnPs [۱۲-۱۷]، تاثیر نسبت ابعاد بر خصوصیات مکانیکی و حرارتی این نانوکامپوزیت‌ها [۱۸]، ریزساختار و پایداری حرارتی آنها [۱۹]، تاثیر قطر ذرات، مقدار افزودنی و ماده سازگار کننده بر رفتار جریان مذاب کامپوزیت‌های PP تقویت‌شده با GnPs [۲۰-۲۲] و تاثیر PP/GnPs بر خواص الکتریکی نانوکامپوزیت‌های [۲۳] مورد بررسی قرار گرفته است.

علی‌رغم افزایش حجم تحقیقات بر نانوکامپوزیت‌های حاوی گرافن، بخش عمده مطالعات روی فیلم و قالب‌های پلاستیکی انجام شده است و تحقیقات متشر شده اندکی در مورد تولید و بررسی ویژگی‌های الیاف نانوکامپوزیت بر پایه

کشش‌پذیری مطلوب بوده و کاربردهای زیادی یافته‌اند. مفهوم دانش نانوکامپوزیت‌های پلیمری در صنعت نساجی و تکنولوژی الیاف، نسل جدیدی از الیاف را به عنوان الیاف نانوکامپوزیت ایجاد نموده است و در این راستا از نانومواد متفاوتی جهت کاربردهای مختلف استفاده شده است. یکی از این مواد که اخیراً مورد توجه محققان قرار گرفته است، نانوصفحات گرافن می‌باشد که بدلیل خصوصیات منحصر‌بفرد و کشف روش‌های متفاوت برای تولید آن، محققان در سراسر دنیا به تحقیق در این زمینه روی آورده‌اند [۱، ۲].

گرافن یک صفحه تک لایه دو بعدی است که در آن اتم‌های کربن با هیریداسیون² در یک ساختار بلوری شش ضلعی در کنار یکدیگر قرار گرفته‌اند. گرافن تک لایه با مدول یانگ ۱ TPa و استحکام ۱۳۰ GPa ۱۳۰ قری ترین ماده‌ای است که تا به حال شناخته شده است. این ماده دارای رسانایی حرارتی ۵۰۰۰ W/(m.K) و همچنین رسانایی الکتریکی بالا تا ۶۰۰۰ S/cm است. این خصوصیات در کنار مساحت سطحی بالا و نفوذناپذیری نسبت به گازها، موجب می‌شود تا گرافن پتانسیل بالایی جهت بهبود خصوصیات مکانیکی، الکتریکی، حرارتی و ایجاد مانع در برابر گاز در پلیمرها را داشته باشد [۳، ۴].

علاوه بر گرافن که تنها از یک لایه از اتم‌های کربن تشکیل شده است نانوصفحات گرافن (GnPs) نیز وجود دارند که دارای خصوصیات مکانیکی، الکتریکی و حرارتی برجسته‌ای می‌باشند. نانوصفحات گرافن از چندین لایه یا صفحات گرافن قرار گرفته روی هم تشکیل شده‌اند که این صفحات توسط نیروهای واندروالس در کنار یکدیگر قرار گرفته و فاصله بین صفحه‌ای آنها حدود ۰-۳۴ nm است. ضخامت کلی نانوصفحات در مقیاس نانو و قطر آنها در محدوده میکرون تا ۱۱۰ است که با تغییر شرایط تولید می‌توان آن را تغییر داد. این نانوصفحات دارای مساحت سطحی و نسبت ابعاد بالایی می‌باشند [۴-۸].

نانوصفحات گرافن از لحاظ شیمیایی مشابه نانولوله‌های

حضور GnPs بر مورفولوژی، ساختار و خواص حرارتی الیاف PP/GnPs نشان می‌دهد که حضور GnPs در سطح الیاف بر خواص کششی تاثیر منفی می‌گذارد. همچنین در صورت بهبود پخش GnPs در ماتریس PP بلورینگی در اثر جریان در الیاف PP/GnPs رخ خواهد داد.

همانطور که بررسی مطالعات پیشین نشان می‌دهد بیشتر تحقیقات صورت گرفته در زمینه الیاف نانو کامپوزیت حاوی GnPs روی ماتریس PA6 بوده و تحقیقات اندکی نیز در خصوص الیاف نانو کامپوزیت PP/GnPs منتشر شده است. فرآیند تولید الیاف فرآیند پیچیده‌ای است که در آن ظهور ساختار الیاف از طریق برهیکش زنجیرهای پلیمری با دما، تنش برشی و کششی در خط ریستندگی و تغییر فاز تعیین می‌شود. تغییرات ایجاد شده در رئولوژی پلیمر بدلیل افزودن مواد نانوممکن است مکانیزم شکل‌گیری الیاف را تغییر داده و منجر به تغییرات در ساختار و خصوصیات الیاف شود. بدلیل آنکه بطور کلی شرایط تولید الیاف با شرایط تولید فیلم و فرآیندهای دیگر تفاوت دارد، لذا خصوصیات ساختاری الیاف نانو کامپوزیت نسبت به فیلم یا مواد نانو کامپوزیتی قالب‌گیری شده متفاوت خواهد بود. در این تحقیق، تاثیر جریان تطبیلی بر شکل‌گیری و ظهور ساختار در الیاف نانو کامپوزیت PP/GnPs در طی ذوب ریسی با سرعت‌های متفاوت مورد بحث و بررسی قرار می‌گیرد.

۲- فعالیت‌های تجربی

۱- مواد

پلیمر مورد استفاده در این پژوهه پلی پروپیلن نوع الیاف با نام تجاری ۵۱۲P محصول شرکت سایک عربستان می‌باشد که دارای وزن مولکولی (M_w) ۱۸۶۰۰۰ g/mol و شاخص جریان مذاب ۲۵ g/10min است.

آمیزه GnPs حاوی ۱۰٪ وزنی GnPs از شرکت Ovation Polymers آمریکا تهیه شد. نانوصفحات گرافن مورد استفاده در آمیزه توسط شرکت XG Sciences آمریکا

گرافن وجود دارد [۲۴-۳۰]. Xu و Gao کامپوزیت‌های نایلون ۶ (PA6)/گرافن را با روش پلیمرشدن درجای کاپرولاکتم در حضور اکسید گرافن تهیه نموده و سپس از طریق فرآیند ذوب ریسی آنها را تبدیل به الیاف نمودند [۳۱]. نتایج مطالعات آنها نشان داد که در حضور ۰/۱٪ گرافن، استحکام کششی الیاف نانو کامپوزیت حدود ۲/۲ برابر الیاف PA6 خالص بوده و مدول الیاف نیز حدود ۲/۴ برابر افزایش می‌باید. در پژوهشی دیگر، ریزساختار و پایداری حرارتی الیاف نانو کامپوزیت PA6 حاوی گرافن حامل دار شده (FG) مورد بررسی قرار گرفت [۳۲، ۳۳] و بر اساس نتایج حاصله، چسبندگی بین سطحی قوی بین صفحات FG و ماتریس PA6 وجود دارد که موجب انتقال بار موثر از ماتریس به نانوصفحات خواهد شد. همچنین افزودن صفحات FG، مقدار انرژی فعال‌سازی تحریب الیاف نانو کامپوزیت FG/PA6 را نیز افزایش می‌دهد که ناشی از فعل و انفعالات ویژه بین زنجیرهای FG و PA6 می‌باشد.

در تحقیق دیگری [۳۴] تاثیر GnPs و CNTs بر ساختار و خصوصیات مکانیکی الیاف نایلون ۱۲ (PA12) مورد بررسی قرار گرفته است. بررسی الگوهای پراش اشعه ایکس نشان می‌دهد که شاخص بلورینگی با افزودن CNTs و GnPs بدلیل تاثیرات هسته‌زایی و رشد بلورهای جدید در اطراف افزودنی‌ها افزایش یافته است. بررسی خصوصیات مکانیکی نمایانگر بهبود مدول، استحکام در نقطه تسلیم و استحکام کششی الیاف تقویت شده با CNTs و GnPs می‌باشد.

Kim و همکارانش [۳۵] مطالعات تجربی و نظری را در مورد تاثیر آرایش یافته‌گی افزودنی‌های صفحه‌ای بر خصوصیات مکانیکی الیاف نانو کامپوزیت PA6 ذوب ریسی شده حاوی GnPs انجام دادند. نتایج شبیه‌سازی نشان داد که خصوصیات پیش‌بینی شده الیاف نانو کامپوزیت PA6/GnPs به میزان زیادی تحت تاثیر آرایش یافته‌گی GnPs قرار گرفته و با خواص اندازه‌گیری شده الیاف نانو کامپوزیت تولید شده با نسبت‌های کشش مختلف ارتباط دارد.

تحقیقات کلانتری و همکارانش [۳۶، ۳۷] در مورد تاثیر

محفظه حاوی لامپ اشعه UV مدل 230V 300W تحت تشعشع UV قرار گرفته‌اند [۳۸].

۲-۴-۲- میکروسکوپ الکترونی عبوری

جهت بررسی تغییر شکل هندسی و مورفوЛОژی GnPs در ماتریس PP ابتدا مقطع نازکی از الیاف با قطر کمتر از ۱۰۰ nm با استفاده از دستگاه اولترا میکروتوم تهیه شد. در ادامه از میکروسکوپ الکترونی عبوری (TEM) Zeiss مدل EM10C و با ولتاژ شتاب دهنده ۸۰ kV جهت تهیه تصاویر از مقاطع تهیه شده استفاده شد.

۲-۴-۳- میکروسکوپ الکترونی روبشی

جهت مطالعه مورفولوژی GnPs در آمیزه PP/GnPs از میکروسکوپ الکترونی روبشی گسیل میدانی (FESEM) Hitachi S4160 و تحت ولتاژ شتاب دهنده ۲۰ kV FESEM، نمونه‌ها قبل از مشاهده با ذرات طلا پوشش داده شدند.

۲-۴-۴- بررسی ساختار بلوری با استفاده از پراش اشعه ایکس با زاویه پهن

الگوهای پراش اشعه ایکس با زاویه پهن (WAXD) با استفاده از دستگاه X-ray EQUINOX 1000 (Inel, France) بدست آمد. آزمایش پراش اشعه ایکس در ولتاژ ۴۰ kV و جریان ۴۰ mA انجام و طول موج پرتو CuK_α ($\lambda=1.540 \text{ \AA}$) انتخاب شد. اندازه بلور با استفاده از رابطه شرر در جهت عمود بر صفحات با اندیس میلر (۱۱۰) و (۰۴۰) محاسبه شد:

$$\text{ACS} = K\lambda / \beta \cos\theta \quad (1)$$

۲-۴-۵- تعیین رفتار حرارتی

برای بررسی خواص حرارتی نمونه‌ها از دستگاه گرماسنج پویشی تفاضلی (DSC) مدل 2010 ساخت شرکت TA Instrument استفاده شد. برای این منظور، نمونه‌های با

تولید شده و با نوع M نامگذاری شده‌اند. طبق اظهارات تولیدکننده، نوع M حاوی تعدادی از لایه‌های گرافن است که روی یکدیگر قرار گرفته‌اند و ضخامت و قطر آن به ترتیب $6-8 \text{ nm}$ و $5-6 \text{ \mu m}$ باشد. مساحت سطحی این نانوصفحات $120-150 \text{ m}^2/\text{g}$ می‌باشد.

۲-۲- تهیه آمیزه برای ذوب‌رسی

جهت پخش بهتر GnPs در ماتریس PP و تهیه آمیزه نهایی حاوی ۱٪/۰ GnPs برای ذوب‌رسی، فرآیند اختلاط گرانول‌های PP و آمیزه PP/GnPs و در حقیقت رقیق‌سازی این آمیزه در اکسترودر دو مارپیچه همسانگرد مدل ZSK-25 انجام Coperion Werner & Pfleiderer شرکت ساخت. دمای نواحی حرارتی اکسترودر از بخش تغذیه تا انتهای اکسترودر به ترتیب ۱۷۵، ۱۸۵، ۱۹۵ و 200°C و سرعت مارپیچ ۲۵۰ rpm انتخاب شد. رشته‌های اکسترود شده در آب خنک شده و سپس جهت انجام فرآیند ذوب‌رسی توسط خردکن به گرانول تبدیل شدند. گرانول‌های PP خالص نیز جهت داشتن تاریخچه حرارتی پکسان با شرایط مشابه اکسترود شدند. شماجی از فرآیند ذکر شده در شکل ۱ نشان داده شده است.

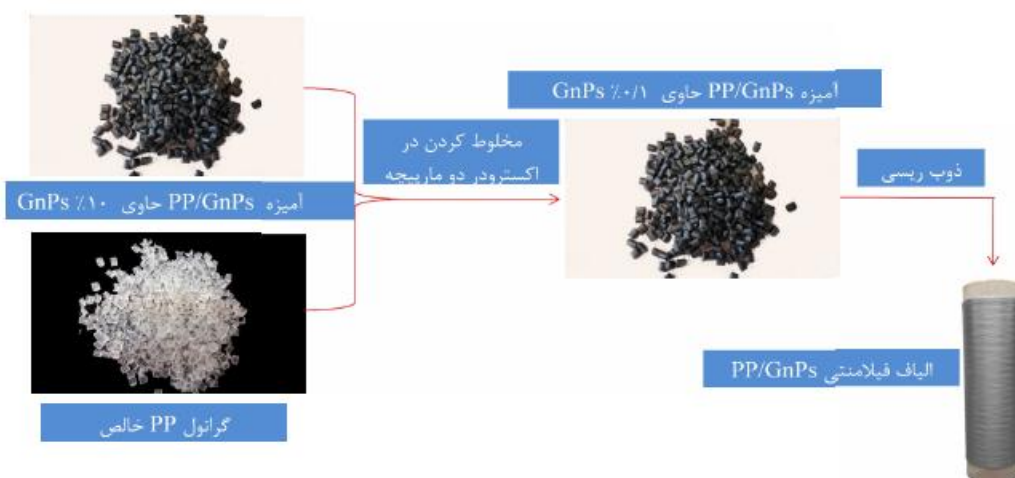
۳-۲- ذوب‌رسی

الیاف فیلامنتی با استفاده از یک واحد ذوب‌رسی نیمه صنعتی ساخت شرکت Fourne-Automatic آلمان تولید شدند. جهت بررسی تاثیر سرعت برداشت بر خواص فیزیکی و ریزساختار الیاف نانو کامپوزیت PP/GnPs نمونه‌هایی در سرعت‌های برداشت ۱۰۰۰، ۱۵۰۰ و 2000 m/min ۲۰۰۰ ذوب‌رسی شدند. در جداول ۱ و ۲ به ترتیب پروفایل دمایی و شرایط تولید نمونه‌ها نشان داده شده است.

۴-۲- روش‌ها

۴-۲-۱- بررسی نحوه پخش GnPs
مطابق استاندارد ASTM G53 نمونه‌ها به مدت ۸۰ h در





شکل ۱: شماتی از مرحله آمیزه‌سازی گرانول PP/GnPs و تبدیل آن به الیاف فیلامنتی.

جدول ۱: دمای نواحی حرارتی دستگاه ذوب‌ریسمی جهت تولید الیاف فیلامنتی.

دماهی بلوک ریستندگی (°C)	دماهی ناحیه انتقال مداد (°C)	دماهی ناحیه اندازه‌گیری (°C)	ناحیه ۵ حرارتی (°C)	ناحیه ۴ حرارتی (°C)	ناحیه ۳ حرارتی (°C)	ناحیه ۲ حرارتی (°C)	ناحیه ۱ حرارتی (°C)
۲۵۰	۲۵۰	۲۵۰	۲۵۰	۲۴۵	۲۴۰	۲۴۰	۲۳۰

جدول ۲: شرایط فرآیند ذوب‌ریسمی برای تولید الیاف فیلامنتی.

فشار مداد ب قبیل از بعب ریستندگی (bar)	سرعت غلتک شیاردار (m/min)	سرعت غلتک اصطکاکی (m/min)	سرعت پصب ریستندگی (rp m)	سرعت برداشت (m/min)
۵۰	۱۱۰۴	۱۰۰۲	۱۰	۱۰۰
۵۰	۱۶۵۵	۱۵۰۲	۱۰	۱۵۰
۵۰	۲۲۳۵	۲۰۰۰	۱۰	۲۰۰

نمونه پلی بروپیلن ۱۰۰٪ بلوری که مقدار آن 20.9 J/g [۳۹] در نظر گرفته شده است و $5\% \text{ wt.}$ درصد وزنی GnPs در نظر گرفته شده است.

وزن ۵-۷ mg از الیاف ریز شده و از دمای محیط تا دمای 200°C حرارت داده شد و به منظور از بین بردن تاریخچه حرارتی به مدت ۵ min در این دما نگه داشته شدند. سپس نمونه‌ها تا دمای محیط خنک شدند. سیکل‌های حرارت دهنده و سرد کردن در نرخ $10^{\circ}\text{C}/\text{min}$ و تحت جریان نیتروژن انجام شد. درصد تبلور نمونه‌ها (X_c) بر اساس رابطه ۲ بدست می‌آید:

$$X_c = \frac{1}{1 - \text{wt.\%}} \frac{\Delta H_m^{\circ}}{\Delta H_m^{\circ}} \times 100 \quad (2)$$

۶-۴-۲- تعیین آرایش مولکولی
آرایش مولکولی الیاف با استفاده از طیف‌سنج عبوری مادون قرمز مجهز به پلاریزور بررسی شد. بدین منظور از دستگاه طیف‌سنج مادون قرمز تبدیل فوریه (FTIR) مدل Nicolet Nexus 670 ساخت شرکت Nicolet مجهز به پلاریزور ZnSe چرخان استفاده شد. طیف گیری در محدوده ۴۰۰ تا

در این رابطه ΔH_m° آنتالپی ذوب الیاف، ΔH_m° آنتالپی ذوب

ثابت از دید طول کار می کند، اندازه گیری شد. طول اوپله نمونه ها و سرعت حرکت فک ها به ترتیب 100 mm و 500 mm/min بوده است. نتایج گزارش شده میانگین حداقل 10 مرتبه اندازه گیری می باشد.

۳- نتایج و بحث

۱-۳- شکل هندسی و مورفولوژی GnPs

تصاویر میکروسکوپ الکترونی روبشی تهیه شده از آمیزه GnPs در شکل ۲ نشان داده شده است. بدلیل رسانایی الکتریکی بالا بصورت نواحی روشن تر در تصاویر ظاهر می شوند. همانطور که در شکل ۲ مشاهده می شود GnPs به صورت صفحه ای بوده و دارای مورفولوژی صاف و مسطح بالهای تیز می باشند و در برخی از نقاط چند صفحه بر روی یکدیگر قرار گرفته اند. قطر متوسط صفحات تقریبا $7\text{ }\mu\text{m}$ می باشد.

تصویر بدست آمده به وسیله میکروسکوپ الکترونی عبوری از GnPs در درون الیاف در شکل ۳ موید این نکته است که پس از آمیزه سازی و ذوب ریسی، شکل هندسی و مورفولوژی نانو صفحات گرافن دستخوش تغییراتی خواهد شد و نسبت ابعادی ابتدایی آنها حفظ نمی شود. این موضوع می تواند بازدهی تقویت سازی این نانو صفحات را کاهش داده و بر خواص مکانیکی نهایی الیاف تاثیر منفی بگذارد. واپیچی در نانو صفحات گرافن شامل تاخوردگی، لوله ای شدن و کمانش است که می تواند در طی فرآیندهای تهیه مستریج و ذوب ریسی رخ داده و نسبت ابعادی موثر این نانو صفحات را کاهش دهد. بجای آنکه صفحات گرافن بصورت ورقه ای جداگانه ای از گرافن با ضخامت $10\text{ }\text{nm}$ متربو شده و در جهت محور لیف قرار گیرند، چندین GnPs می توانند به یکدیگر چسبیده و ضخامت پاد شده را به چند برابر برسانند و در عین حال بدلیل بلند و نازک بودن، نانو صفحات گرافن مستعد واپیچی بوده و شکل هندسی صفحه ای آنها حفظ نخواهد شد. واپیچی های پاد شده بدلیل نیروهای برشی شدید وارده بر آنها در طی

4000 cm^{-1} با قدرت تفکیک 4 cm^{-1} صورت گرفت. نمونه الیاف بر یک صفحه مقوا بی که سوراخی جهت عبور نور روی آن تعییه شده بود به صورت موازی و در کنار هم پیچیده شده و در دستگاه قرار داده شد. جهت های موازی و عمودی میدان الکتریکی نوسانی نور مادون قرمز برخورده با محور الیاف تنظیم شده و برای هر نمونه دو طیف جمع آوری شد. طیف الیاف نسبت به پیک مشخصه PP در 2722 cm^{-1} [۳۹] یکسان سازی شد تا از خطای ناشی از ضخامت نمونه جلوگیری شود.

۲-۴-۷- بررسی رفتار دینامیکی-مکانیکی

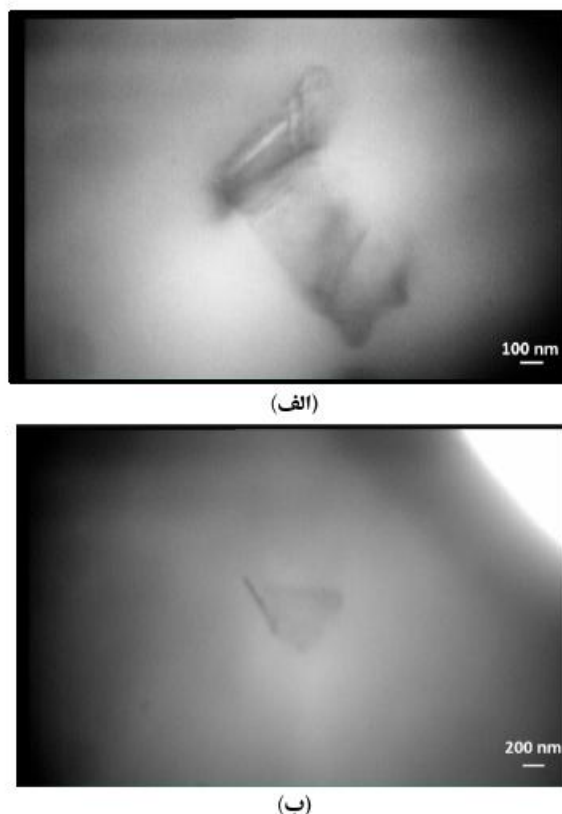
آنالیز دینامیکی-مکانیکی (DMTA) به منظور بررسی خواص ویسکوالاستیک الیاف به عنوان تابعی از دما انجام شد. تجهیزات مورد استفاده برای این آزمایش دستگاه ساخت شرکت Triton 2000 DMTA این آزمایش جهت بررسی خواص ویسکوالاستیک دینامیکی مانند مدول ذخیره (E)، ضریب اتلاف ($\tan\delta$) و دمای انتقال شیشه ای (T_g) استفاده می شود. خصوصیات الیاف در فرکانس 1 Hz ، از دید طول $1/\lambda$ ، نرخ حرارت دهی 5°C/min و در محدوده دمایی $5\text{--}50^{\circ}\text{C}$ ثبت شد.

۲-۴-۸- شاخص جریان مذاب

شاخص جریان مذاب با استفاده از دستگاه اندازه گیری شاخص جریان مذاب مدل GT-7100-MI ساخت شرکت GOTECH و طبق استاندارد ASTM D1238 اندازه گیری شد. طبق این استاندارد، مقدار مذاب PP بر حسب گرم که در دمای 230°C در مدت 10 min از میان روزنه ای با ابعاد معین تحت فشار یک وزنه $2/16\text{ kg}$ به بیرون جاری می شود، اندازه گیری می شود.

۲-۴-۹- اندازه گیری خواص کششی

خواص کششی الیاف تولید شده با استفاده از دستگاه اندازه گیری خواص کششی مدل EMT-3050 ساخت شرکت فناوری نوین الیما (ایران) که بر اساس سیستم نرخ

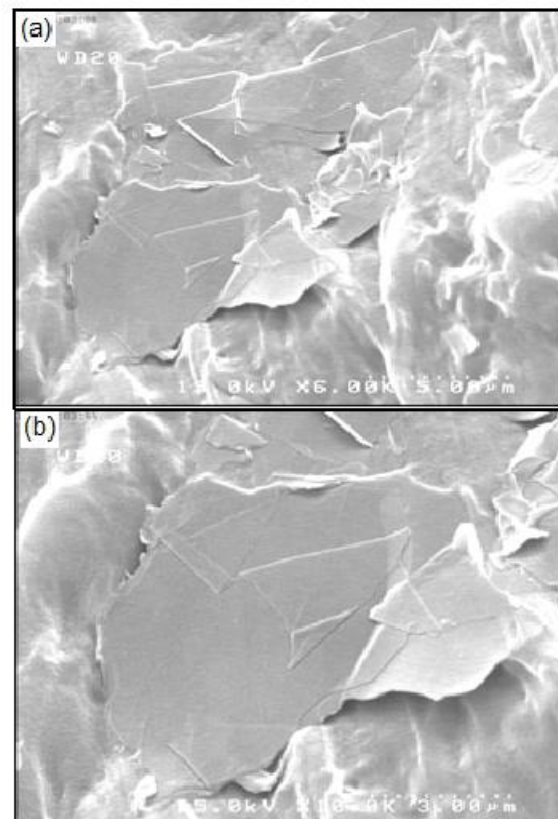


شکل ۳: تصویر میکروسکوب الکترونی عبوری الیاف نانوکامپوزیت PP/GnPs برای نشان دادن تغییر شکل هندسی و موروفولوژی نانوصفحات گرافن در طی آمیزه سازی و ذوب ریسی.

که اندازه تجمعات می تواند حتی از قطر الیاف نیز بیشتر باشد که این موضوع سبب غیر یکنواختی سطح الیاف و تمرکز تنش و در نهایت افت خواص کششی خواهد شد که در این مورد در بخش خواص کششی که موید این نتایج است، بیشتر بحث خواهد شد.

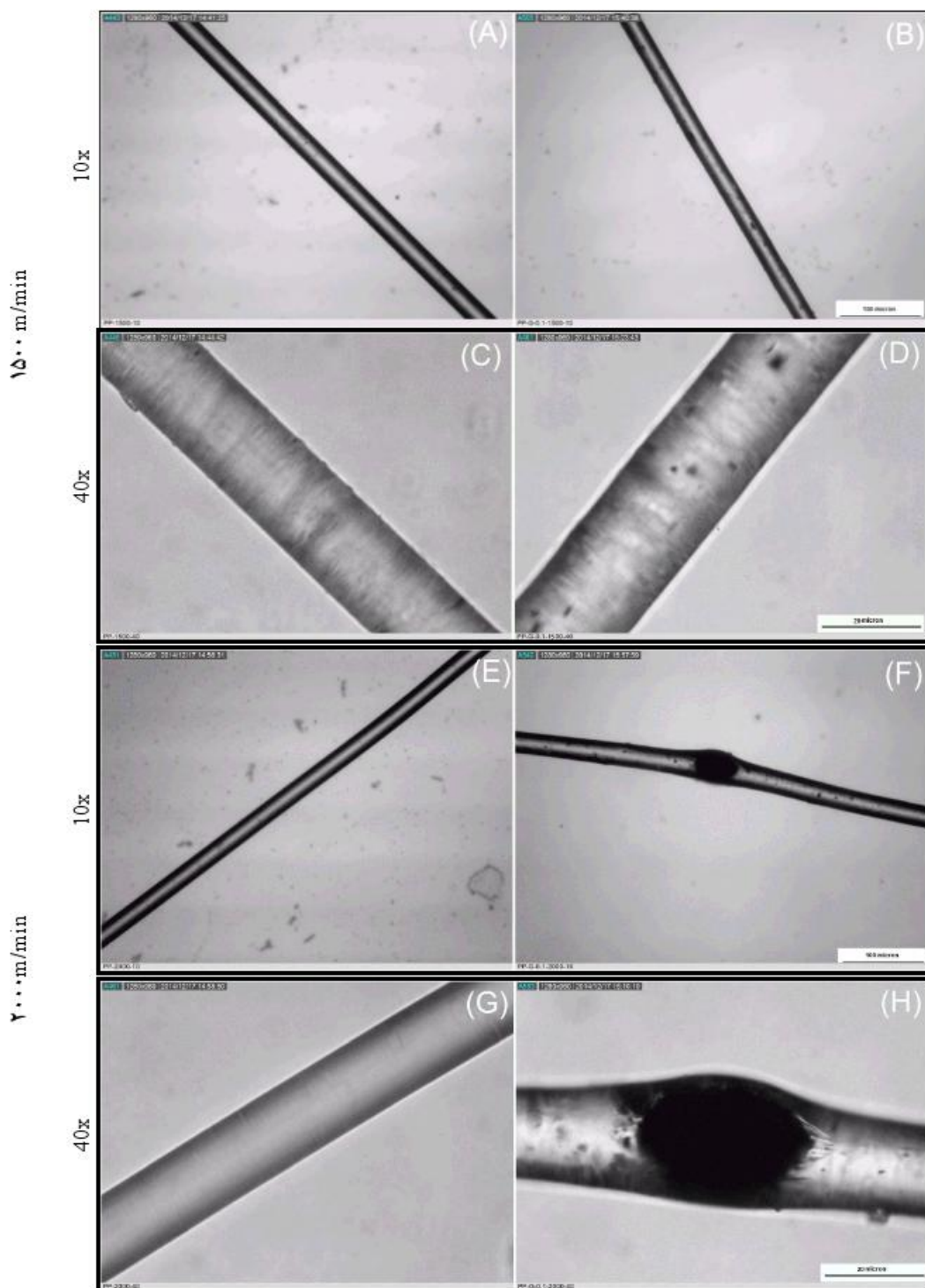
۲-۳- ساختار بلوری

در شکل ۵ الگوی پراش اشعه ایکس با زاویه پهن الیاف فیلامنتی ذوب ریسی شده در سرعت های برداشت مختلف نشان داده شده است. جدول ۳ نیز داده های بدست آمده از این الگوها را برای صفحات (۱۱۰) و (۰۴۰) نشان می دهد. در الگوی پراش PP خالص، چهار پیک مربوط به صفحات (۱۱۰)، (۰۴۰)، (۱۳۰) و (۰۴۱)، (۱۱۱) ظاهر شده اند که نمایانگر ساختار بلوری آلفا مونوکلینیک است. این ساختار بلوری در هر سه سرعت برداشت و نیز در حضور GnPs در



شکل ۲: تصاویر میکروسکوب الکترونی روشنی بدست آمده از آمیزه PP/GnPs

فرآیندهای مذاب، رخ می دهد که این موضوع توسط محققان دیگر نیز گزارش شده است [۱۲، ۱۳، ۲۲]. برای بررسی نحوه پخش و توزیع GnPs در بستر الیاف از میکروسکوب نوری استفاده شد. تصاویر بدست آمده از میکروسکوب نوری برای الیاف فیلامنتی نانوکامپوزیت PP/GnPs /۱۰٪ GnPs که در سرعت های مختلف ذوب ریسی شده اند، در شکل ۴ نشان داده شده است. اگرچه تصاویر میکروسکوب نوری نشان می دهد که GnPs بصورت نسبتاً یکنواخت در ماتریس PP پخش شده اند، اما می توان تجمعات GnPs را نیز در الیاف مشاهده نمود. همانطور که ملاحظه می شود، قطر الیاف تولید شده در سرعت ۱۵۰۰ m/min در مقایسه با ۲۰۰۰ m/min بیشتر است و بدلیل اینکه اندازه تجمعات کوچکتر از قطر الیاف است، لذا مشکل وجود تجمعات در این الیاف و در حقیقت ناهمواری و نایکنواختی سطحی کمتر است. ولی در مورد الیاف تولید شده در سرعت ۲۰۰۰ m/min ملاحظه می شود



شکل ۴: تصاویر میکروسکوپ نوری سطح طولی الیاف PP و PP/G0.1 تولید شده دو سرعت‌های مختلف ذوب ریسی با پزگنجایی‌های ۱۰ و ۴۰.

(۰۶۰) ظاهر شده است که این موضوع در مورد الیاف نانوکامپوزیت حفظ شده است. در سرعت برداشت ۲۰۰۰ m/min، پیک پراش صفحات (۰۰۱) و (۱۱۱) به نشان می‌دهد که با افزایش سرعت برداشت، شدت نسبی

الیاف نانوکامپوزیت حفظ شده است. در سرعت برداشت ۱۰۰ m/min، پیک پراش صفحات (۰۰۱) و (۱۱۱) به خوبی قابل رویت نیست در حالی که پیک پراش صفحه

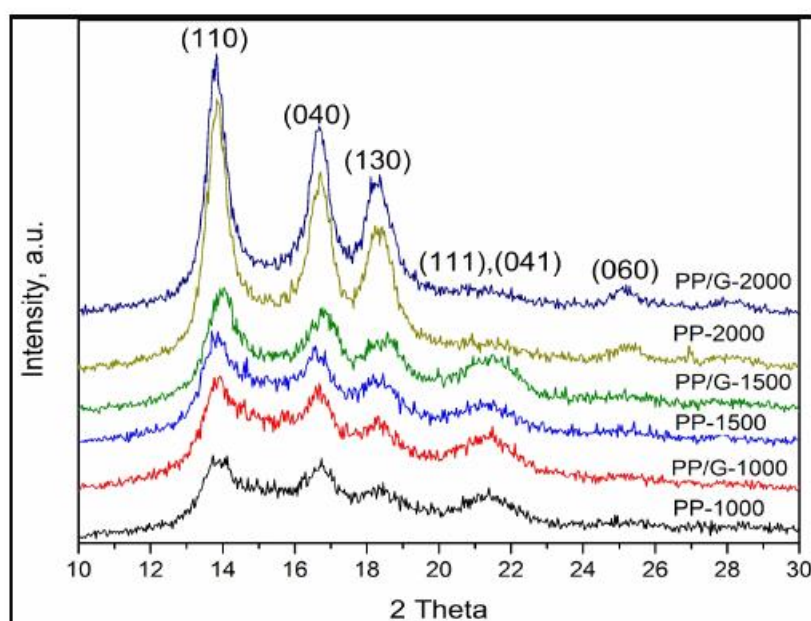
PP/GnPs با افزایش سرعت برداشت کمتر است (جدول ۴). مطالعات متعدد نشان داده است که PP تک آرایش به شرایط بلورینگی حساسیت زیادی دارد [۴۲-۴۴]. PP اشکال بلوری متعددی دارد مانند فاز بلوری آلفا (مونوکلینیک)، فاز بتا (تری گونال) و فاز گاما (اورتورومیک). همچنین می‌تواند یک ساختار مزو داشته باشد که در اغلب موارد به شکل فاز شبیه بلوری از آن یاد می‌شود. متداول‌ترین ساختار بلوری فاز آلفا است ولی فاز مزو نیز می‌تواند براحتی با سرد کردن PP از مذاب یا تغییر شکل مکانیکی نمونه‌های بلوری شکل گیرد و در طی حرارت‌دهی بعدی مجدداً بلوری شود. بنابراین پیک‌های ظاهر شده در منحنی گرماسنج پویشی تفاضلی نمونه‌ها می‌تواند مربوط به ذوب بلورهای ابتدایی موجود در الیاف و بلورهای شکل گرفته از فاز مزو در طی فرآیند حرارت‌دهی باشد. متأسفانه روش گرماسنج پویشی تفاضلی نمی‌تواند بوضوح اثر سرعت بر ریزساختار الیاف را تشریح نماید. بطور کلی مقادیر بلورینگی بدست آمده از روش گرماسنج پویشی تفاضلی با حرارت‌دهی در سرعت‌های متداول، بیش از مقدار واقعی بلورینگی نمونه است و از این‌رو به ریزساختار ابتدایی نمونه ارتباطی نداشته و نمی‌تواند نشان دهنده ریزساختار واقعی نمونه باشد. بدین منظور محققان بر این باورند که برای بررسی دقیق ساختار الیاف PP حاوی فاز مزو، باید سرعت حرارت‌دهی در آزمون گرماسنج پویشی تفاضلی بسیار بیشتر باشد [۴۴]. هر چند در شکل ۵ پیک پنهانی که مربوط به فاز مزو باشد در چنین سرعت‌هایی به وضوح قابل رویت نیست ولی پیک‌های تیز مربوط به فاز بلوری آلفا مونوکلینیک را تنها می‌توان در نمونه‌های ذوب‌بریسی شده در سرعت ۲۰۰۰ m/min مشاهده نمود. بدین ترتیب می‌توان گفت که در الیاف PP خالص و الیاف نانوکامپوزیت ۲۰۰۰ m/min، مخلوطی از فاز مزو و فاز بلوری آلفا مونوکلینیک وجود دارد. همچنین پهن بودن پیک ذوب در منحنی گرماسنج پویشی تفاضلی برای الیاف PP خالص و الیاف نانوکامپوزیت PP/GnPs ذوب‌بریسی شده در

پیک پراش صفحات (۱۱۰)/(۴۰) کاهش می‌باید که این کاهش در حضور GnPs در الیاف نانوکامپوزیت نیز رخ می‌دهد. ولی تفاوت قابل ملاحظه‌ای در شدت نسبی پیک پراش صفحات پاد شده در الیاف PP خالص و الیاف نانوکامپوزیت PP/GnPs در سرعت‌های مختلف وجود ندارد.

نتایج مطالعات قبلی [۴۰] نشان می‌دهد که افزایش شدت نسبی پیک پراش صفحات (۱۱۰)/(۴۰)، نمایانگر افزایش میزان هسته‌گذاری در حضور GnPs است که در اینجا رخ نداده است. بر طبق تحقیقات پیشین [۴۱]، به عنوان GnPs مکان‌های هسته‌گذاری ناهمگن حمل می‌کند و بنابراین انتظار می‌رود میزان بلورینگی در الیاف نانوکامپوزیت PP/GnPs افزایش یابد. ولی در پژوهش حاضر، کاهش و یا عدم تغییر قابل ملاحظه در میزان بلورینگی الیاف را می‌توان به تجمع GnPs نسبت داد. تجمعات GnPs که در شکل ۴ نیز قابل رویت است، می‌تواند تعداد مکان‌های هسته‌گذاری واقعی را کاهش داده ولی اندازه آنها را بزرگ‌تر نماید. این موضوع منجر به رشد هسته بلور و افزایش اندازه آن و کاهش میزان بلورینگی خواهد شد. بررسی اندازه بلورها برای صفحات (۱۱۰) و (۴۰) نشان می‌دهد (جدول ۳) که با افزایش سرعت برداشت، اندازه بلورها افزایش می‌باید ولی اندازه بلورها در الیاف نانوکامپوزیت PP/GnPs در مقایسه با الیاف PP خالص در سرعت‌های مختلف بیشتر است.

بطور کلی می‌توان گفت در سرعت‌های بالاتر از ۱۰۰۰ m/min، نقش هسته‌زایی GnPs در حال کمرنگ شدن است و بیشتر خود زنجیرهای PP تحت تاثیر تنش وارده از سوی خلتک برداشت، نقش اصلی را در شکل‌دهی ساختار بلوری ایفا می‌کند.

در ادامه در بحث ویژگی‌های حرارتی در خصوص مقادیر بلورینگی الیاف ذوب‌بریسی شده در سرعت‌های بالا بحث خواهد شد. نتایج نشان می‌دهد با افزایش سرعت برداشت، میزان بلورینگی الیاف PP خالص به میزان قابل ملاحظه‌ای کاهش می‌باید ولی کاهش بلورینگی الیاف نانوکامپوزیت



شکل ۵: الگوهای پراش اشعه ایکس با زاویه پهن الیاف PP خالص و الیاف نانوکامپوزیت PP/GnPs ذوب‌رسی شده در سرعت‌های مختلف.

جدول ۳: داده‌های استخراج شده از الگوهای پراش اشعه ایکس با زاویه پهن الیاف PP خالص و الیاف نانوکامپوزیت PP/GnPs ذوب‌رسی شده در سرعت‌های مختلف.

نسبت شدت بیک (۰۴۰)/(۱۱۰)	صفحات بلوری						کد نمونه	
	(۰۴۰)			(۱۱۰)				
	اندازه بلور (Å)	FWHM (°)	2θ (°)	اندازه بلور (Å)	FWHM (°)	2θ (°)		
۰/۹۱	۳۷/۷۰	۲/۱۳	۱۶/۷۱	۳۹/۴۲	۲/۰۳	۱۳/۹	PP-1000	
۰/۸۶	۴۴/۱۵	۱/۸۲	۱۶/۶	۴۴/۲۵	۱/۸۱	۱۳/۸۵	PP-1500	
۰/۷۱	۵۴/۲۹	۱/۴۸	۱۶/۷۱	۷۲/۱۵	۱/۱۱	۱۳/۸۳	PP-2000	
۰/۸۹	۴۷/۲۶	۱/۷۰	۱۶/۶۵	۴۶/۵۶	۱/۷۲	۱۳/۸۸	PP/G-1000	
۰/۸۲	۵۴/۶۷	۱/۴۷	۱۶/۸۲	۵۶/۴۱	۱/۴۲	۱۴/۰۰	PP/G-1500	
۰/۷۶	۶۸/۰۹	۱/۱۸	۱۶/۶۷	۷۹/۲۹	۱/۰۱	۱۳/۸۱	PP/G-2000	

در سرعت‌های مختلف را نشان می‌دهد. مشخصات حرارتی این نمونه‌ها نیز در جدول ۴ ارائه شده است.

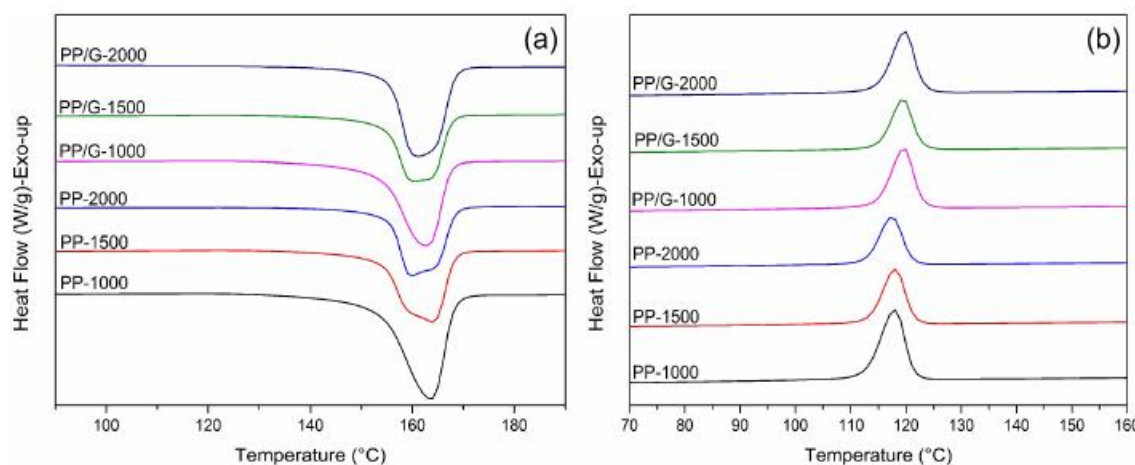
نتایج جدول ۴ نشان می‌دهد که سرعت ذوب‌رسی تاثیر قابل ملاحظه‌ای بر دمای ذوب و دمای تبلور الیاف PP خالص و الیاف نانوکامپوزیت PP/GnPs نداشته است.

همانطور که مشاهده می‌شود با افزایش سرعت برداشت، میزان بلورینگی الیاف PP خالص به میزان قابل ملاحظه‌ای کاهش می‌باشد ولی کاهش بلورینگی الیاف نانوکامپوزیت PP/GnPs با افزایش سرعت برداشت، کمتر است. پیش از

سرعت‌های ۱۰۰۰ تا ۲۰۰۰ m/min در شکل ۶ نیز نشان می‌دهد که در این نمونه‌ها، بلورهایی با اندازه، درجه تکامل و پایداری مختلفی وجود دارند.

۳-۳-۳- ویژگی‌های حرارتی

ویژگی‌های حرارتی الیاف PP خالص و الیاف نانوکامپوزیت PP/GnPs به کمک گرماسنج پویشی تفاضلی مورد بررسی قرار گرفته است. شکل ۶ منحنی‌های ذوب و تبلور الیاف PP خالص و الیاف نانوکامپوزیت PP/GnPs ذوب‌رسی شده



شکل ۶: منحنی های گرماسنج پویشی تفاضلی الیاف PP خالص و الیاف نانو گامپوزیت ۲ دوب ریسی شده در سرعت های مختلف (a) سیکل حرارت دهنی و (b) سیکل چنگ کردن.

جدول ۴: داده های حرارتی بدست آمده از گرماسنج پویشی تفاضلی برای الیاف PP خالص و الیاف نانو گامپوزیت PP/GnP دوب ریسی شده در سرعت های مختلف.

سید نمونه	آنتالپی ذوب (J/g)	میزان بلورینگی (%)	دمای ذوب (°C)	دمای تبلور (°C)	دمای شروع تبلور (°C)	دماهی سوبر کولینگ (°C)
PP-1000	۱۱۰/۳	۵۲/۷۷	۱۶۳/۶	۱۱۷/۸۹	۱۲۵	۴۰/۲۱
PP-1500	۷۹/۹۴	۳۸/۲۴	۱۶۳/۸۴	۱۱۸	۱۲۵	۴۰/۸۴
PP-2000	۷۲/۷۶	۳۴/۷۶	۱۶۲/۶۷	۱۱۷/۳۸	۱۲۴/۰	۴۲/۲۹
PP/G-1000	۸۸/۹۲	۴۲/۵۸	۱۶۲/۶	۱۱۹/۶۱	۱۲۶/۰	۴۲/۹۹
PP/G-1500	۷۱/۴۱	۳۴/۲۰	۱۶۰/۱۳	۱۱۹/۴۴	۱۲۶/۵	۴۰/۷۹
PP/G-2000	۷۶/۸۴	۳۶/۸	۱۶۱/۱۶	۱۱۹/۷۴	۱۲۷	۴۱/۴۲

مطالعات قبلی نشان می دهد که برای PP جذب در عدد موج 998 cm^{-1} با فاز بلوری (محور \parallel) و جذب در عدد موج 973 cm^{-1} با فازهای بلوری و آمورف ارتباط دارد. بنابراین از جذب در عدد موج 998 cm^{-1} برای ارزیابی آرایش یافته ای فاز بلوری و از جذب در عدد موج 973 cm^{-1} برای ارزیابی آرایش یافته ای متوسط الیاف استفاده می شود [۴۵, ۴۶]. نتایج نسبت دی کروئیک در اعداد موج 973 cm^{-1} و 998 cm^{-1} برای نمونه های ذوب ریسی شده در سرعت های متفاوت در جدول ۵ نشان داده شده است. همانطور که در جدول ۵ ملاحظه می شود نسبت دی کروئیک برای اعداد موج ذکر شده در حضور GnP در الیاف افزایش یافته است که نمایانگر افزایش آرایش یافته ای در هر دو فاز آمورف و

این در مورد تغییرات ایجاد شده در میزان بلورینگی نمونه ها در اثر سرعت ذوب ریسی در بخش ساختار بلوری بحث شده است.

۳-۴- تعیین میزان آرایش یافته ای

از آزمون طیف سنجی مادون قرمز پلاریزه برای بررسی میزان آرایش یافته ای زنجیره ای پلیمری در الیاف استفاده شد. برای شناسایی شدت آرایش مولکولی زنجیره ای پلیمری $D = A_{\parallel}/A_{\perp}$ نسبت به محور لیف، نسبت دی کروئیک بصورت نسبت شدت جذب مادون قرمز قطبیده موازی با محور الیاف (A_{\parallel}) به شدت جذب مادون قرمز عمود بر محور لیف (A_{\perp}) برای ارتعاش خاصی تعریف می شود.

می‌باید و در نتیجه امکان استراحت این زنجیرها و بهم ریختگی آرایش پافتنگی ایجاد شده در آنها بدلیل تنفس واردہ از سوی غلتک برداشت، کاهش می‌باید. این موضوع نیز می‌تواند افزایش آرایش پافتنگی در الیاف در سرعت‌های بالاتر را تشریح نماید. این پدیده از سوی دیگر موجب افت میزان بلورینگی در سرعت‌های بالاتر به جهت کافی نبودن زمان لازم برای حصول بلورینگی می‌شود که نتایج بدست آمده در جدول ۴ نیز موید این مطلب است.

علاوه بر این، در الیاف نانو کامپوزیت PP/GnPs وجود GnPs با هدایت حرارتی بالاتر به سرمایش و انجماد سریع تر لیف کمک می‌کند و در نتیجه آرایش پافتنگی حاصله در الیاف نهایی حفظ خواهد شد. از سوی دیگر، کاهش دمای سوپر کولینگ در الیاف نمایانگر تسریع فرآیند بلورینگی است [۳۷]. لذا با توجه به کاهش دمای سوپر کولینگ در الیاف نانو کامپوزیت PP/GnPs مطابق جدول ۴، وقوع بلورینگی در این الیاف سریع تر رخ می‌دهد و این نواحی بلوری به صورت اتصالات عرضی فیزیکی، از بهم ریختگی آرایش پافتنگی در زنجیرهای پلیمری جلوگیری می‌کنند.

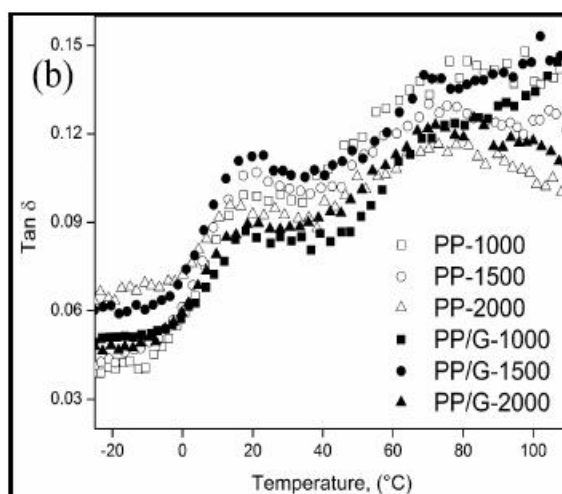
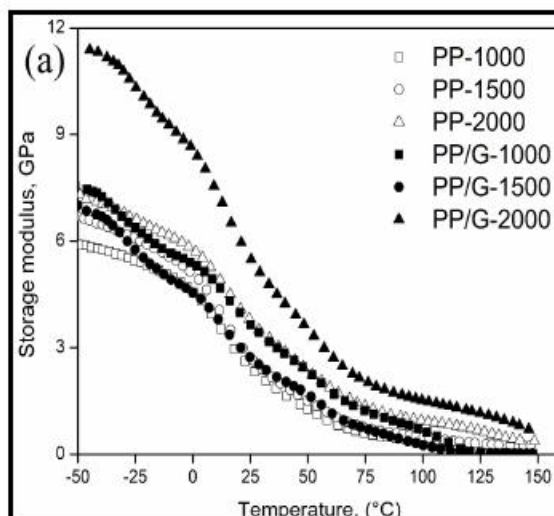
علاوه بر موارد یاد شده، افزایش ویسکوزیته مذاب پلیمری بدلیل حضور GnPs ، موجب افزایش تنفس ریستندگی شده و در نتیجه با افزایش نیروی واردہ، احتمال آرایش پافتنگی زنجیرهای مولکولی در جهت محور لیف و شکل‌گیری زنجیرهای پلیمری با آرایش پافتنگی بالاتر در الیاف نانو کامپوزیت PP/GnPs وجود خواهد داشت.

برای بررسی افزایش ویسکوزیته مذاب پلیمری، شاخص جریان مذاب گرانول‌ها اندازه‌گیری شد. نتایج اندازه‌گیری شاخص جریان مذاب برای گرانول PP خالص و آمیزه PP/GnPs حاوی $1\%/\text{GnPs}$ نشان می‌دهد که این مقدار از $30/41$ برای گرانول PP خالص به 23 در نمونه حاوی $1\%/\text{GnPs}$ کاهش می‌باید (حدود $24\%/\text{کاهش}$). نتایج تحقیقات GnPs و همکارانش [۲۰، ۲۱] نیز نشان می‌دهد که در حضور GnPs ، شاخص جریان مذاب PP/GnPs کاهش می‌باید. شاخص جریان مذاب بستگی به خصوصیات

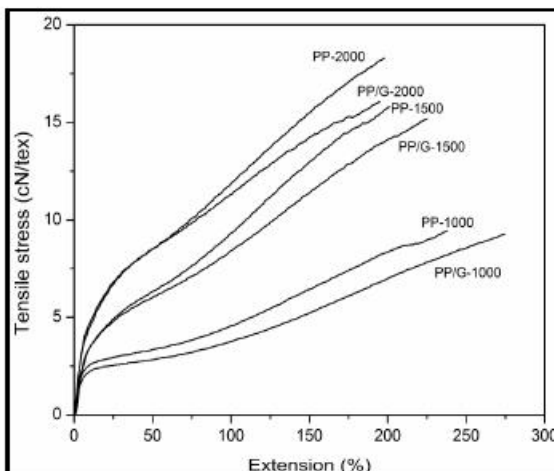
جدول ۵: مقادیر نسبت دی گروینک (D) در اعداد موج 973 cm^{-1} برای الیاف PP خالص و الیاف نانو کامپوزیت PP/GnPs ذوب‌رسی شده در سرعت‌های مختلف.

نسبت دی گروینک		نمونه
عدد موج 998 cm^{-1}	عدد موج 973 cm^{-1}	
۱/۱۱۳	۱/۰۶۱	$\text{PP}-1000$
۱/۲۱۷	۱/۰۸۱	$\text{PP}-1500$
۱/۴۶۸	۱/۲۷۷	$\text{PP}-2000$
۱/۱۷۳	۱/۰۹۳	$\text{PP/G}-1000$
۱/۴۰۵	۱/۲۴۵	$\text{PP/G}-1500$
۱/۵۷۵	۱/۳۱۵	$\text{PP/G}-2000$

بلوری در حضور GnPs می‌باشد. مطالعات قبلی [۴۷] نشان می‌دهد که فاکتورهای کلیدی برای حصول آرایش پافتنگی و حفظ آن در خط ذوب‌رسی عبارتند از شدت جریان تطبیلی، زمان استراحت و نرخ سرمایش. در این تحقیق، نرخ سرمایش در تولید تمام نمونه‌ها ثابت بوده است و لذا در مورد این پارامتر بحث نمی‌شود. در طی ذوب‌رسی، آرایش پافتنگی زنجیرهای مذاب بدلیل استراحت سریع در مذاب پلیمری با محدودیت‌هایی مواجه است که در این استراحت، نیروهای آنتروپی موجب بازگشت زنجیرهای پلیمری به حالت اولیه آنها یعنی به شکل مارپیچ تصادفی خواهد شد. با افزایش سرعت برداشت، شدت جریان تطبیلی افزایش می‌باشد و بدین ترتیب با افزایش سرعت برداشت در سرعت‌های بالاتر از 1000 m/min ، آرایش پافتنگی زنجیرهای مولکولی در الیاف PP خالص و نیز الیاف PP/GnPs افزایش می‌باشد که نشان می‌دهد حضور GnPs از حصول آرایش پافتنگی ممانعت نمی‌کند. به نظر می‌رسد در سرعت 1500 m/min ، افزایش میزان آرایش پافتنگی حاصله در نمونه PP/GnPs نسبت به الیاف PP خالص قابل توجه بوده ولی این روند افزایشی در سرعت 2000 m/min کاهش می‌باشد. همچنین با افزایش شدت جریان تطبیلی، زمان اقامت زنجیرهای پلیمری در ناحیه انجماد ذوب‌رسی کاهش



شکل ۷: منحنی‌های a) مدول ذخیره و b) ضریب اتلاف در مقابل دما برای الیاف PP و الیاف نانوکامپوزیت PP/GnPs ذوب‌رسی شده در سرعت‌های مختلف.



شکل ۸: منحنی تنش کرنش الیاف PP خالص و الیاف نانوکامپوزیت PP/GnPs ذوب‌رسی شده در سرعت‌های مختلف.

مولکولی از قبیل وزن مولکولی و ساختار سیستم پلیمری دارد. پلیمرهایی با شاخص جریان مذاب بالا وزن مولکولی پایینی دارند و برعکس. به نظر می‌رسد GnPs از تحرک آزادانه زنجیرهای PP در حالت مذاب جلوگیری می‌کند و احتمال ایجاد ممانعت فضایی در میان بخش‌های زنجیر PP توسط نانوصفحات وجود دارد. همچنین درگیری بین زنجیرهای مولکولی PP در مجاورت GnPs افزایش می‌یابد که این درگیری از حرکت آزادانه مذاب جلوگیری می‌کند و این امر موجب افزایش ویسکوزیته مذاب پلیمری و در نتیجه کاهش شاخص جریان مذاب می‌شود.

۳-۵- بررسی خواص مکانیکی- دینامیکی

از آزمون مکانیکی- دینامیکی برای فهم بهتر تحرکات مولکولی و کسب اطلاعات بیشتر در خصوص خواص مکانیکی استفاده شده است. منحنی مدول ذخیره و ضریب اتلاف در برابر دما برای الیاف PP خالص و الیاف نانوکامپوزیت PP/GnPs ذوب‌رسی شده در سرعت‌های مختلف در شکل ۷ نشان داده شده است. داده‌های بدست آمده از این منحنی‌ها نیز در جدول ۶ داده شده است. همانطور که در شکل ۷ ملاحظه می‌شود مدول ذخیره الیاف با افزایش سرعت برداشت تا حدودی افزایش می‌یابد. در حضور GnPs نیز مدول ذخیره الیاف ذوب‌رسی شده در سرعت‌های ۱۰۰۰ و ۱۵۰۰ m/min در مقایسه با الیاف PP خالص تا حدودی افزایش می‌یابد ولی مدول ذخیره در دمای ۳۰ °C برای الیاف نانوکامپوزیت ذوب‌رسی شده در سرعت ۲۰۰۰ m/min حدود ۴۵٪ بیشتر از الیاف PP خالص است. همچنین ضرایب اتلاف و دمای انتقال شیشه‌ای الیاف PP خالص و الیاف PP/GnPs نیز چندان تحت تاثیر سرعت برداشت قرار ندارند.

۳-۶- خواص کششی

چگونگی تغییرات در خواص کششی الیاف PP خالص و الیاف نانوکامپوزیت PP/GnPs ذوب‌رسی شده در

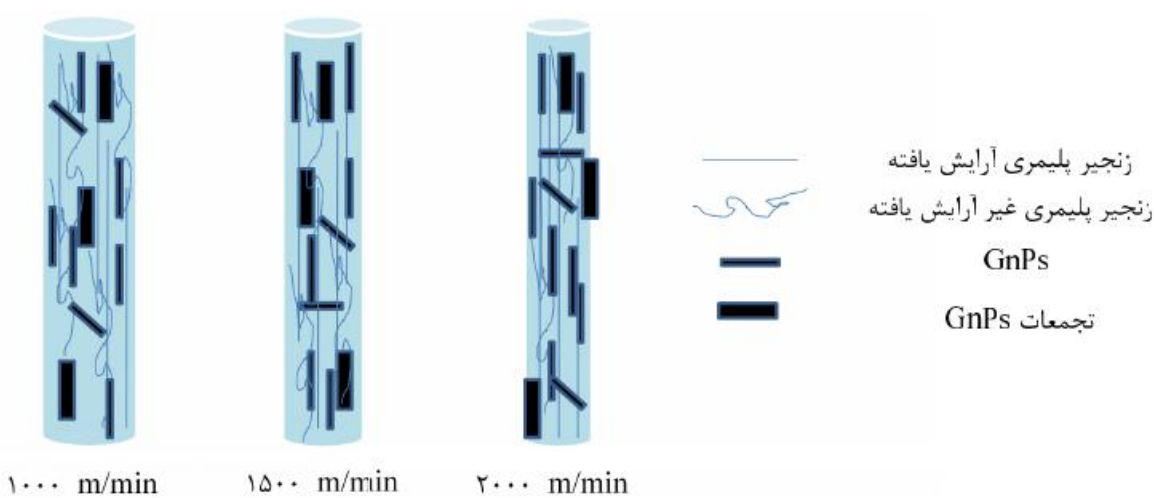
جدول ۶: داده‌های بدست آمده از آنالیز مکانیکی دینامیکی الیاف PP و الیاف نانوکامپوزیت PP/GnPs ذوب‌رسی شده در سرعت‌های مختلف.

PP/G-2000	PP/G-1500	PP/G-1000	PP-2000	PP-1500	PP-1000	گرد نمونه
۱۸/۹	۱۸/۳	۱۸/۳	۱۷/۳	۱۹/۳	۱۹/۳	T_g (Tan δ temperature max.)
۰/۰۹۰	۰/۱۱۴	۰/۰۸۶	۰/۰۹۹	۰/۱۰۵	۰/۱۰۰	Tan δ max. value
۱۰/۷۸	۶/۱۲	۶/۶۶	۶/۷۹	۶/۲	۵/۰۷	-۳۰ °C
۵/۰۱	۲/۴۷	۳/۳۲	۳/۴۵	۲/۳۸	۲/۱۴	۳۰ °C
۱/۰۷	۰/۰۲۹	۰/۰۲۶	۰/۰۷	۰/۲۷	۰/۰۵۷	۱۳۰ °C

جدول ۷: تغییرات خواص کششی الیاف PP خالص و الیاف نانوکامپوزیت PP/GnPs ذوب‌رسی شده در سرعت‌های مختلف.

سرعت برداشت (m/min)	استحکام کششی (cN/tex)	ازدیاد طول نسبی (%)	مدول کششی (cN/tex)	کار مخصوص تا حد پارگی (cN/tex)
۱۰۰	۹/۳۹ (۱/۰۷)	۲۸۳/۳ (۶/۲۲)	۵۸/۴۲ (۸/۷۵)	۱۳/۰۸ (۲/۱۹)
	۹/۳ (۰/۰۸)	۲۴۷/۹ (۲۶/۵۹)	۵۲/۶۴ (۶/۱۷)	۱۶/۲۹ (۲/۲۹)
۱۵۰	۱۵/۷۷ (۱/۲۵)	۲۰۲/۳ (۱۴/۴۱)	۷۰/۳۷ (۶/۷۲)	۱۹/۲۷ (۲/۴۳)
	۱۵/۲۱ (۱/۰۰)	۲۲۵/۹ (۱۶/۴۶)	۷۲/۸۸ (۶/۶۰)	۲۱/۰۲ (۲/۷۸)
۲۰۰	۱۸/۳۶ (۰/۹۳)	۱۹۸ (۱۷/۱۸)	۹۰/۴۸ (۷/۹۸)	۲۲/۲ (۳/۰۹)
	۱۵/۹۹ (۰/۸۸)	۱۹۵/۶ (۱۴/۸۱)	۹۳/۷۷ (۸/۶۸)	۲۱/۳ (۲/۴۸)

* اعداد داخل پرانتز نسایانگر انحراف میار می‌باشد.



شکل ۹: مدل‌های ساختاری پیشنهادی برای الیاف نانوکامپوزیت PP/GnPs ذوب‌رسی شده در سرعت‌های مختلف.

تمام نمونه‌ها ثابت بوده و تنها تنش کششی ناشی از سرعت خلتک برداشت تغییر داده شد، لذا می‌توان فرض نمود که در صورت بروز تجمعات GnPs پس از خروج از رشته‌ساز، امکان شکسته شدن آنها در خط ذوب‌رسی و تحت جریان تطبیقی به میزان قابل ملاحظه‌ای وجود ندارد. می‌توان اینطور در نظر گرفت که اعمال جریان تطبیقی تنها می‌تواند بر چیدمان و آرایش یافته‌گی نانوصفحات و نیز تغییر بلورینگی الیاف تاثیرگذار باشد. بر اساس نتایج حاصله، می‌توان مدل‌های ساختاری نشان داده شده در شکل ۹ را برای الیاف ذوب‌رسی شده در سرعت‌های مختلف پیشنهاد نمود.

۴- نتیجه‌گیری

نتایج این تحقیق نشان می‌دهد که به طور کلی در طی ذوب‌رسی الیاف نانوکامپوزیت PP/GnPs در سرعت‌های بالاتر از ۱۰۰۰ m/min، نقش هسته‌زایی GnPs در حال کمرنگ شدن است و خود زنجیره‌ای PP تحت تاثیر تنش واردۀ از سوی خلتک برداشت، نقش اصلی را در شکل‌دهی ساختار بلوری ایفا می‌کنند. نتایج آنالیز حرارتی نشان‌دهنده عدم تاثیر سرعت ذوب‌رسی بر دمای ذوب و دمای تبلور الیاف PP خالص و الیاف نانوکامپوزیت PP/GnPs می‌باشد. همچنین با افزایش سرعت برداشت، میزان بلورینگی الیاف PP خالص به میزان قابل ملاحظه‌ای کاهش می‌باشد ولی کاهش بلورینگی الیاف نانوکامپوزیت PP/GnPs با افزایش سرعت برداشت کمتر است. در حین شکل‌گیری الیاف نوریس از حالت مداد، GnPs از بروز آرایش یافته‌گی زنجیره‌ای پلیمری در راستای محور لیف ممانعت نمی‌کند. در حضور GnPs مدول ذخیره الیاف ذوب‌رسی شده در سرعت‌های ۱۰۰۰ و ۱۵۰۰ m/min در مقایسه با الیاف PP خالص تا حدودی افزایش می‌باشد ولی مدول ذخیره در دمای 30°C برای الیاف نانوکامپوزیت ذوب‌رسی شده در سرعت ۲۰۰۰ m/min حدود ۴۵٪ بیشتر از الیاف PP خالص است. با افزایش سرعت ذوب‌رسی و کاهش قطر فیلامنت، نسبت اندازه تجمعات GnPs به قطر فیلامنت افزایش می‌باشد.

سرعت‌های مختلف در جدول ۷ نشان داده شده است. شکل ۸ نیز منحنی تنش-کرنش نمونه‌های پیاد شده را نشان می‌دهد. همانطور که در جدول ۷ ملاحظه می‌شود، با افزایش سرعت ذوب‌رسی استحکام کششی و مدول اولیه الیاف افزایش یافته و از دیاد طول نسبی آنها کاهش می‌یابد. در سرعت‌های ۱۰۰۰ و ۱۵۰۰ m/min، تفاوت قابل ملاحظه‌ای میان خواص کششی الیاف PP خالص و الیاف نانوکامپوزیت PP/GnPs وجود ندارد، ولی استحکام کششی الیاف PP/GnPs ذوب‌رسی شده در سرعت ۲۰۰۰ m/min از الیاف PP خالص کمتر است و در مقایسه با الیاف نانوکامپوزیت ذوب‌رسی شده در سرعت ۱۵۰۰ m/min افزایش قابل ملاحظه‌ای را نشان نمی‌دهد. می‌توان عنوان نمود که با افزایش سرعت ذوب‌رسی و کاهش قطر فیلامنت، نسبت اندازه تجمعات GnPs به قطر فیلامنت افزایش می‌یابد که این موضوع می‌تواند موجب افزایش نقاط ضعیف و بروز نواقص شده و در نتیجه پارگی و کاهش استحکام را در الیاف نانوکامپوزیت PP/GnPs در سرعت‌های بالاتر در پی خواهد داشت.

بر اساس نتایج حاصله می‌توان گفت که فرض افزایش استحکام در اثر بهبود چیدمان و آرایش یافته‌گی GnPs در راستای محور الیاف در اثر اعمال جریان تطبیقی بیشتر همانند آنچه در مورد CNTs گزارش شده است [۴۸] چندان پذیرفتنی نیست، چرا که نسبت ابعادی GnPs به مراتب کمتر از CNTs است و در نتیجه کاهش استحکام کششی الیاف وابستگی چندانی به چیدمان GnPs ندارد و بیشتر تحت تاثیر پیوند بین سطحی پلیمر-افروندی و پخش GnPs و نیز بلورینگی قرار می‌گیرد. این نکته نیز لازم به ذکر است که تجمعات GnPs بدلیل تماس صفحه به صفحه نانوصفحات گرافن مجاور یکدیگر و تحت نیروی واندرالس رخ می‌دهد ولی با اعمال تنش برشی بر آنها در اکسترودر و نیز رشته‌ساز، احمال جدا شدن این صفحات از یکدیگر و در حقیقت شکسته شدن تجمعات دور از ذهن نیست. به جهت آنکه در این تحقیق، بدلیل یکسان بودن شرایط ذوب‌رسی، تنش برشی اعمالی بر مذاب پلیمر در

- [20] A.J. Duguay, A. Kiziltas, J.W. Nader, D.J. Gardner, H.J. Dagher, *Journal of Nanoparticle Research*, **16**, 2014, 2307.
- [21] A.J. Duguay, J.W. Nader, A. Kiziltas, D.J. Gardner, H.J. Dagher, *Applied Nanoscience*, **4**, 2014, 279.
- [22] J.U. Roh, S.W. Ma, W.I. Lee, H. Thomas Hahn, D.W. Lee, *Composites Part B: Engineering*, **45**, 2013, 1548.
- [23] E. Nilsson, H. Oxfall, W. Wandelt, R. Rychwalski, *Journal of Applied Polymer Science*, **130**, 2013, 2579.
- [24] S.H. Hwang, B.J. Kim, J.B. Baek, H.S. Shin, I.J. Bae, S.Y. Lee, *Composites Part B: Engineering*, **100**, 2016, 220.
- [25] X. Ji, Y. Xu, W. Zhang, L. Cui, J. Liu, *Composites Part A: Applied Science and Manufacturing*, **87**, 2016, 29.
- [26] G. Nasillo, R. Arrigo, N.T. Dintcheva, E. Morici, D. Chilhura Martino, E. Caponetti, *Advances in Polymer Technology*, **29**, 2016, 21722.
- [27] C.S. Boland, S. Barwick, U. Khan, J.N. Coleman, *Carbon*, **99**, 2016, 280.
- [28] X. Zheng, L. Yao, X. Mei, S. Yu, W. Zhang, Y. Qiu, *Journal of Materials Science*, **51**, 2016, 9889.
- [29] P. Noorunnisa-Khanam, M.A. Al-Maadeed, M. Ouederni, B. Mayoral, A. Hamilton, D. Sun, *Advanced Manufacturing: Polymer & Composites Science*, **2**, 2016, 67.
- [30] Z. Xu, L. Peng, Y. Liu, Z. Liu, H. Sun, W. Gao, C. Gao, *Chemistry of Materials*, **29**, 2017, 319.
- [31] Z. Xu, C. Gao, *Macromolecules*, **43**, 2010, 6716.
- [32] H. Liu, L. Hou, W. Peng, Q. Zhang, X. Zhang, *Journal of Materials Science*, **47**, 2012, 8052.
- [33] H.H. Liu, W.W. Peng, L.C. Hou, X.C. Wang, X.X. Zhang, *Composites Science and Technology*, **81**, 2013, 61.
- [34] S. Chatterjee, F.A. Nuesch, B.T.T. Chu, *Chemical Physics Letters*, **557**, 2013, 92.
- [35] M. Kim, S.H. Hwang, B.J. Kim, J.B. Baek, H.S. Shin, H.W. Park, Y.B. Park, I.J. Bae, S.Y. Lee, *Composites Part B: Engineering*, **66**, 2014, 511.
- [36] B. Kalantari, M.R. Mohaddes Mojtabahedi, F. Sharif, and R. Semnani Rahbar, *Polymer Composites*, **36**, 2015, 367.
- [37] B. Kalantari, M.R. Mohaddes-Mojtabahedi, F. Sharif, R. Semnani-Rahbar, *Composites Part A: Applied Science and Manufacturing*, **76**, 2015, 203.
- [38] Y. Ogino, H. Fukushima, N. Takahashi, G. Matsuba, K. Nishida, T. Kanaya, *Macromolecules*, **39**, 2006, 7617.
- [39] J. Brandrup, E.H. IMMERGUT, "Polymer Handbook", Wiley Interscience, New York, 1989.
- [40] J. Zhang, S. He, P. Lv, Y. Chen, *Journal of Applied Polymer Science*, **134**, 2017, DOI: 10.1002/app.44486.
- [41] S.H. Ryu, A.M. Shammugharaj, *Chemical Engineering Journal*, **244**, 2014, 55.
- [42] L. Balzano, S. Rastogi, G.W.M. Peters, *Macromolecules*, **42**, 2009, 2088.
- [43] D. Mileva, R. Androsch, E. Zhuravlev, C. Schick, *Macromolecules*, **42**, 2009, 7275.
- [44] Y. Ogino, H. Fukushima, N. Takahashi, G. Matsuba, K. Nishida, T. Kanaya, *Macromolecules*, **39**, 2006, 7617.
- [45] G. Colombe, S. Gree, O. Lhost, M. Dupire, M. Rosenthal, D.A. Ivanov, *Polymer*, **52**, 2011, 5630.
- [46] F. Sadeghi, A. Ajji, P.J. Carreau, *Polymer Engineering & Science*, **47**, 2007, 1170.
- [47] S.H. Tabatabaei, P.J. Carreau, A. Ajji, *Polymer*, **50**, 2009, 4228.
- [48] F.P. La Mantia, M.C. Mistretta, R. Scaffaro, L. Botta, M. Ceraulo, *Composites Part B: Engineering*, **78**, 2015, 1.
- [49] V.K. Rangari, M. Yousef, S. Jeelani, M.X. Pulikkathara, V.N. Khabashesku, *Nanotechnology*, **19**, 2008, 191.

که این موضوع موجب افزایش نقاط ضعیف و بروز نواقص شده و در نتیجه پارگی و کاهش استحکام را در الاف نانو کامپوزیت ذوب ریسی شده PP/GnP در سرعت های بالاتر در پی خواهد داشت. همچنین اعمال جریان تقویتی تنها می تواند بر چیدمان و آرایش یافته‌گی نانو صفحات و نیز تغییر بلورینگی الاف تاثیر گذار باشد و امکان شکسته شدن تجمعات GnP در خط ذوب ریسی و تحت جریان تقویتی اعمالی وجود ندارد.

مراجع

- J. Silvestre, N. Silvestre, J. de Brito, *Mechanics of Advanced Materials and Structures*, **23**, 2016, 1263.
- X. Liu, L.Y. Wang, L.F. Zhao, H.F. He, X.Y. Shao, G.B. Fang, Z.G. Wan, *Polymer Composites*, **28**, 2016, 6096.
- J. Phiri, P. Gane, T.C. Maloney, *Materials Science and Engineering: B*, **215**, 2017, 9.
- S. Nazarpour, S.R. Waite, "Graphene Technology: From Laboratory to Fabrication", Wiley, USA, 2016.
- P. Song, Z. Cao, Y. Cai, L. Zhao, Z. Fang, S. Fu, *Polymer*, **52**, 2011, 4001.
- M. Aliofkhazraei, N. Ali, W.I. Milne, C.S. Ozkan, S. Mitura, J.L. Gervasoni, "Graphene Science Handbook: Applications and Industrialization", CRC Press, New Jersey, 2016.
- J. R. Potts, D.R. Dreyer, C.W. Bielawski, R.S. Ruoff, *Polymer*, **52**, 2011, 5.
- J. Du, H.M. Cheng, *Macromolecular Chemistry and Physics*, **213**, 2012, 1060.
- M. Bhattacharya, *Materials*, **9**, 2016, 262.
- Y. Liu, Z. Xu, W. Gao, Z. Cheng, C. Gao, *Advanced Materials*, **29**, 2017, 1278.
- D. Feldman, *Journal of Macromolecular Science Part A*, **53**, 2016, 651.
- K. Kalaitzidou, H. Fukushima, P. Askeland, L.T. Drzal, *Journal of Materials Science*, **43**, 2008, 2895.
- K. Kalaitzidou, H. Fukushima, L.T. Drzal, *Carbon*, **45**, 2007, 1446.
- K. Kalaitzidou, H. Fukushima, L.T. Drzal, *Composites Science and Technology*, **67**, 2007, 2045.
- K. Kalaitzidou, H. Fukushima, L.T. Drzal, *Composites Part A: Applied Science and Manufacturing*, **38**, 2007, 1675.
- K. Kalaitzidou, H. Fukushima, H. Miyagawa, L.T. Drzal, *Polymer Engineering & Science*, **47**, 2007, 1796.
- A.P. Bafana, X. Yan, X. Wei, M. Patel, Z. Guo, S. Wei, E. K. Wujcik, *Composites Part B: Engineering*, **109**, 2017, 101.
- E.V. Kuvardina, L.A. Novokshonova, S.M. Lomakin, S.A. Timan, I.A. Tchmutin, *Journal of Applied Polymer Science*, **128**, 2013, 1417.
- S.R. Ahmad, C. Xue, R.J. Young, *Materials Science and Engineering: B*, **12** 2017, 127